



ความเป็นมาและทฤษฎีของระบบ ซีเอฟเอเอส

2.1 ระบบบำบัดทางชีววิทยาแบบฟิล์มตรึง (Fixed Film Biological Treatment System)

ระบบบำบัดน้ำเสียทางชีววิทยาแบบฟิล์มตรึง ซึ่งมักจะเรียกกันทั่วไปว่า ระบบเอฟ-เอพี (Fixed Film Biological Reactor, FFB) ไม่ใช่ระบบใหม่ที่เพิ่งคิดค้นกันขึ้นมาได้ แต่ความจริงแล้วเป็นระบบชนิดแรกที่มีมนุษย์ได้ค้นพบขึ้นมาเพื่อบำบัดน้ำเสียจากแหล่งชุมชนด้วยซ้ำ (3) และเพราะความง่ายในการใช้งานของระบบนี้จึงทำให้การใช้งานแพร่หลายไปอย่างรวดเร็วในช่วงต้นของคริสต์ศตวรรษที่ 20 แต่ต่อมาได้มีการขยายตัวของเมืองใหญ่ๆ และก็มีมาตรการในการควบคุมคุณภาพน้ำทิ้งเข้มงวดขึ้น ความนิยมจึงได้หันไปหาระบบบำบัดแบบมวลจุลินทรีย์แขวนลอย (Suspended Bacteria Mass) ดังเช่นในระบบแอกทิเวตเต็ดสลัดจ์ ทั้งนี้ก็เนื่องมาจากราคาค่าก่อสร้างถูกกว่า และขีดความสามารถในการกำจัดมลสารสูงกว่าระบบ เอฟ-เอพี ตามเทคโนโลยีที่มีอยู่ในขณะนั้น

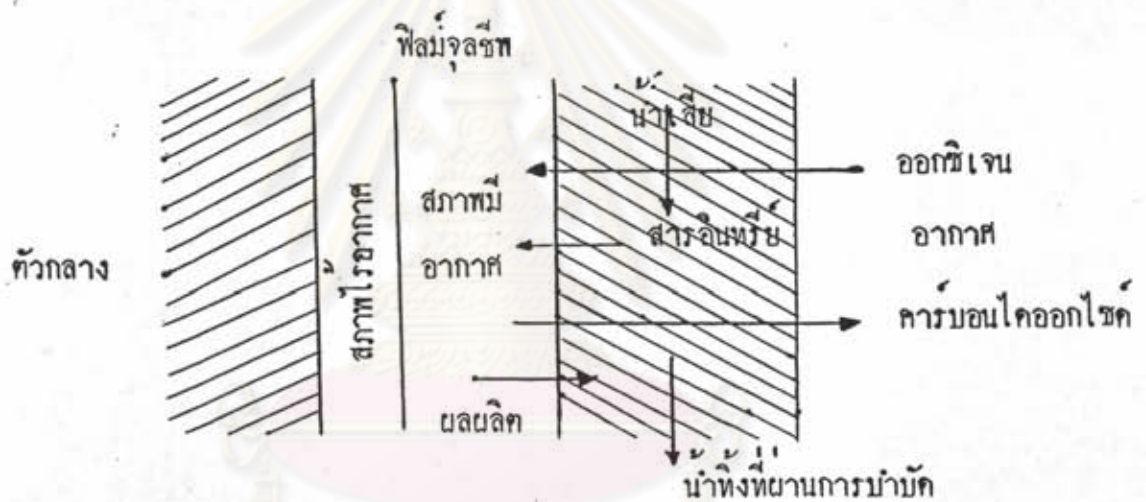
อย่างไรก็ตาม ระบบแอกทิเวตเต็ดสลัดจ์เป็นขบวนการที่มีการเกินของระบบที่ยุ่งยากพอสมควร และใช้พลังงานค่อนข้างสูง บวกกับค่าใช้จ่ายทางด้านพลังงานสูงขึ้นไปอีก ในช่วงระยะเวลา 5 - 6 ปีที่ผ่านมา มุคสลในทุกวงการได้หันมาพิจารณาเพื่อประหยัดพลังงาน และพยายามมองหาวิธีการที่จะใช้ระบบบำบัดที่มีการใช้พลังงานต่ำมาทดแทนระบบแอกทิเวตเต็ดสลัดจ์ที่ใช้กันอยู่ทั่วไปในปัจจุบัน นอกจากนี้ปัญหาทางด้านมลภาวะทั่วโลกก็ได้ทวีความรุนแรงขึ้น กฎเกณฑ์และมาตรฐานเกี่ยวกับน้ำทิ้งก็ยิ่งทวีความเข้มงวดขึ้น ระบบบำบัดแบบแอกทิเวตเต็ดสลัดจ์จึงต้องได้รับการออกแบบให้ซึบหรือระคายการกำจัดสูงขึ้น ซึ่งทำให้การทำงานของระบบฯ ยุ่งยากมากขึ้นไปด้วย

ดังนั้น ในปัจจุบันจึงมีแนวโน้มที่จะกลับไปหาระบบบำบัดแบบเอฟเอพี ซึ่งให้พลังงานในการบำบัดน้อยมาก และแนวโน้มนี้ก็จะมีมากขึ้นตลอดเวลา โดยมีการพัฒนาทางเทคโนโลยีทำให้ได้ระบบบำบัดชนิดใหม่ ๆ ขึ้นมา ตัวอย่างเช่น ระบบบำบัดแบบอาร์บีซี (12) หรือระบบบีเคีย-

ชีวสัมผัส ซึ่งระบบบำบัดชนิดใหม่ยังงรักษาข้อดีในการใช้พลังงานต่ำ และดำเนินการง่าย แต่ยังสามารถผลิตน้ำทิ้งที่คุณภาพดีเท่ากับหรือดีกว่าของระบบแบบมวลจุลชีพแขวนลอยได้

2.2 ระบบบำบัดแบบ เอฟเอฟบี (5)

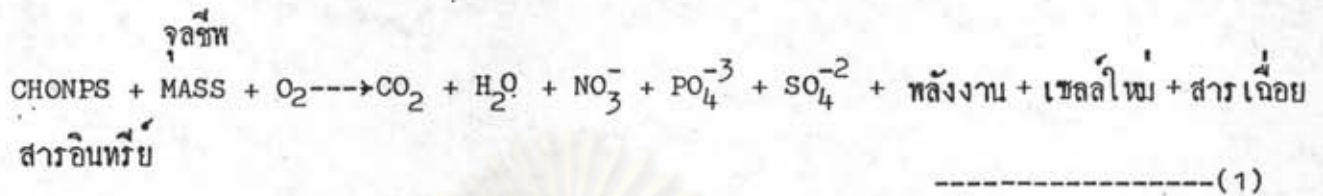
ระบบบำบัดแบบ เอฟเอฟบี หรือระบบบำบัดทางชีววิทยาแบบฟิล์มที่จริง เป็นระบบบำบัดน้ำเสียที่อาศัยมวลของจุลชีพซึ่งเกาะอยู่บนตัวกลาง (media) ในการย่อยสลายสารอินทรีย์ในน้ำเสีย โดยมีการถ่ายเทออกซิเจนจากอากาศไปสู่ฟิล์มของจุลชีพ เพื่อให้จุลชีพใช้ในการดำรงชีวิตและการออกซิไดส์สารอินทรีย์ ดังแผนภูมิที่แสดงไว้ข้างล่างนี้



รูปที่ 2.1 การทำจุลชีวอินทรีย์ในน้ำเสีย โดยกระบวนการ เอฟเอฟบี (13)

เมื่อมีอาหารของจุลชีพ หรือมีมลสารในรูปของสารอินทรีย์ในน้ำเสียนั้นเอง ไหลผ่านเป็นฟิล์มบาง ๆ บนตัวกลาง จะเกิดมวลของจุลชีพเกาะอยู่บนตัวกลางซึ่งโดยธรรมชาติ มวลจุลชีพนี้จะเกาะบนตัวกลางและก่อให้เกิดรูปฟิล์มชั้นหนึ่ง ชั้นนี้เรียกว่า ฟิล์มชีวะ (biofilm) ออกซิเจนจากอากาศ (ซึ่งจำเป็นของออกแบบให้อากาศแทรกเข้าไปถึงฟิล์มชีวะให้ไ้จะด้วยมาทการของโพรงอากาศ หรือจากอากาศโดยตรง หรือโดยการอัดอากาศเข้าไปก็ตามแต่ จะ

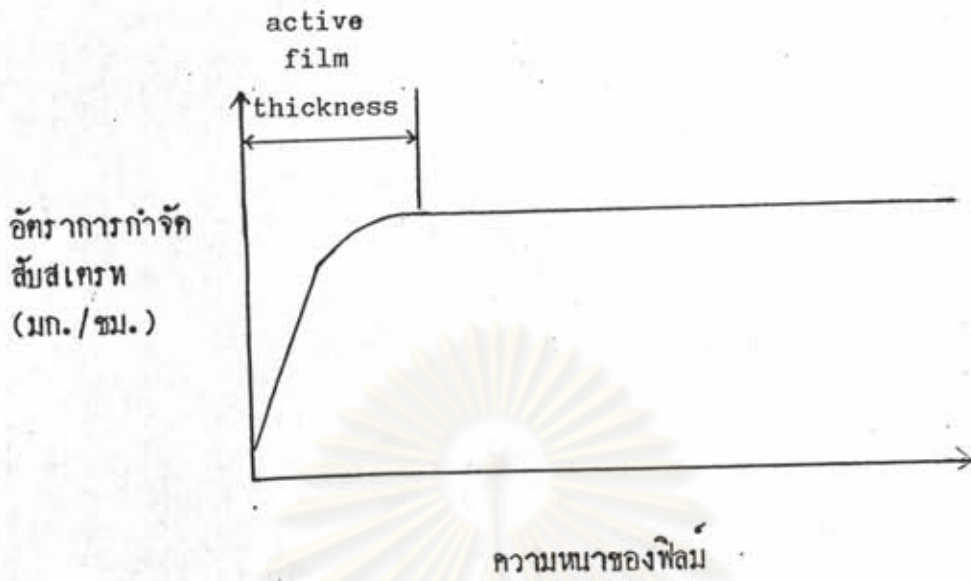
กระจายทั่วผืนทะเลฟิล์มน้ำเสียไปถึงฟิล์มของจุลชีพ ขณะเดียวกันสารอินทรีย์ในน้ำเสียก็จะแทรกซึมไปสู่ฟิล์มชีวะเช่นกัน ณ ที่นี้เองจะเกิดปฏิกิริยาทางชีวะเคมีโดยจุลชีพได้ผลผลิตออกมาเป็นสารเดี่ยวก๊าซคาร์บอนไดออกไซด์ น้ำ และพลังงาน ทั้งสมการ



ก๊าซคาร์บอนไดออกไซด์ที่ผลิตได้จะกระจายทั่วผืนฟิล์มน้ำเสียไปสู่มวลของอากาศเพื่อออกสู่อากาศต่อไป ส่วนผลผลิตอื่น ๆ ที่เป็นสารเดี่ยวจะถูกถ่ายเททิ้งออกไปกับน้ำทิ้งอันได้รับการบำบัดแล้ว และเซลล์ใหม่ก็จะเกาะก่อกำกับตัวกลางทำให้ความหนาของฟิล์มจุลชีพหนาขึ้น เมื่อความหนาของฟิล์มถึงกลาวนั้นมากขึ้นจนอากาศหรือออกซิเจนไม่สามารถแทรกทั่วไปได้จนถึงชั้นในของฟิล์มได้ ชั้นในสุดของฟิล์มชีวะก็จะกลายเป็นสภาพไร้ออกซิเจน และฟิล์มจะหลุดออกมาในที่สุด ตัวกลางส่วนนั้นก็จะเป็นที่ก่อกำของจุลชีพที่จะเจริญเติบโตขึ้นมาใหม่ ซึ่งจะมีความกระฉับกระเฉงในการย่อยสารอินทรีย์มากกว่าจุลชีพที่หลุดออกไป ทำให้ประสิทธิภาพของระบบบำบัดทั้งหมดดีขึ้นอีกด้วย (14, 15, 16)

จากรูปที่ 2.2 ถ้าฟิล์มของจุลชีพมีความหนามากกว่า Active Film Thickness อัตราการย่อยสลายของสารอินทรีย์ (หรือการกำจัดสับสเตรท) จะไม่เพิ่มขึ้นเลย

ศูนย์วิทยพัชยากร
จุฬาลงกรณ์มหาวิทยาลัย



รูปที่ 2.2 ความสัมพันธ์ของความหนาของฟิล์มจุลชีพกับอัตราการกำจัดสัมสเทรท (4)

ระบบน้ำคั้นแบบ เอฟเอฟบี มีลักษณะเฉพาะตัวที่เป็นเอกลักษณ์ อันจะสามารถเปรียบเทียบระบบแอกทิเวทเค็กลักจี้ไค้กั้งนี้

ตารางที่ 2.1 เปรียบเทียบระบบ เอฟเอฟบี และระบบแอกทิเวทเค็กลักจี้ (1)

ระบบ เอฟเอฟบี	ระบบแอกทิเวทเค็กลักจี้
1. ไม่มีการหมุนเวียนของตะกอนกลับเข้าสู่ถังปฏิกริยา	1. การสูบตะกอนหมุนเวียนกลับเข้าสู่ถังปฏิกริยา มีความจำเป็นอย่างยิ่งยวคและเป็นสาเหตุของความยุ่งยากและวิบัติของระบบา

ระบบ เอฟเอพี	ระบบแอกทีเวทเทคสแลกจ์
<p>2. สามารถทนต่อสภาพการเพิ่มปริมาณน้ำเสีย หรือมีโอคิต์เข้าสู่ระบบฯ (Shock Load) ได้ดี เพราะจุลชีพดั้งเดิมจะไม่สามารถเจริญเติบโตได้ดีเช่นเดิม ก็ยังสามารถเกาะติดอยู่กับตัวกลางและปรับสภาพตัวเองให้เข้ากับสภาพแวดล้อมใหม่ได้ จากนั้นจะโค่นหน้าที่ย่อยสลายสารอินทรีย์ออกไปได้อีก</p> <p>3. สามารถทนต่อสารพิษในน้ำเสียได้ดีกว่า (เหตุผลเช่นเดียวกับข้อ 2)</p> <p>4. การเริ่มเดินระบบ (start up) ทำได้ง่ายมาก เพียงแค่ป้อนน้ำเสียเข้าสู่ระบบฯ</p> <p>5. การเดินระบบและการบำรุงรักษาทำได้ง่าย การควบคุมมวลจุลชีพในระบบจะปรับตัวได้เองโดยธรรมชาติ ไม่จำเป็นต้องมีพนักงานผู้ดูแลระบบฯ ที่มีการฝึกฝนมาโดยเฉพาะ (เป็นข้อคิดที่ดีมากสำหรับภาวะการณ์ในประเทศ)</p> <p>6. งบประมาณค่าเดินระบบฯ ทำ เพราะใช้พลังงานน้อย</p>	<p>2. ถ้ามีเหตุการณ์ดังกล่าวเกิดขึ้นระบบฯ มีแนวโน้มที่จะล้มเหลวได้ง่าย เพราะจุลชีพจะตายหรือไม่สามารถเจริญเติบโตได้ และจะไหลรวมออกไปกับน้ำทิ้งออกนอกระบบ ทำให้ไม่มีปริมาณจุลชีพเพียงพอที่จะทำการย่อยสลายสารอินทรีย์ได้</p> <p>3. ระบบฯ อาจจะมีปัญหา ขึ้นอยู่กับปริมาณและความเข้มข้นของสารพิษที่เข้าสู่ระบบฯ</p> <p>4. ทำได้ยากพอสมควร ต้องอาศัยผู้ที่มีความรู้ และได้รับการฝึกฝนมาโดยเฉพาะ</p> <p>5. ทำได้ยาก การรักษามวลจุลชีพในถังเก็บอากาศให้ได้ตามที่ต้องการจะต้องการความชำนาญของผู้ดูแลค่อนข้างสูง ถ้าระบบฯ ไม่ได้รับการออกแบบไว้ให้มีอุปกรณ์ในการอำนวยความสะดวกเพียงพอจะไม่สามารถควบคุมมวลจุลชีพได้เลยในบางกรณี</p> <p>6. ใช้พลังงานมากกว่ามาก</p>

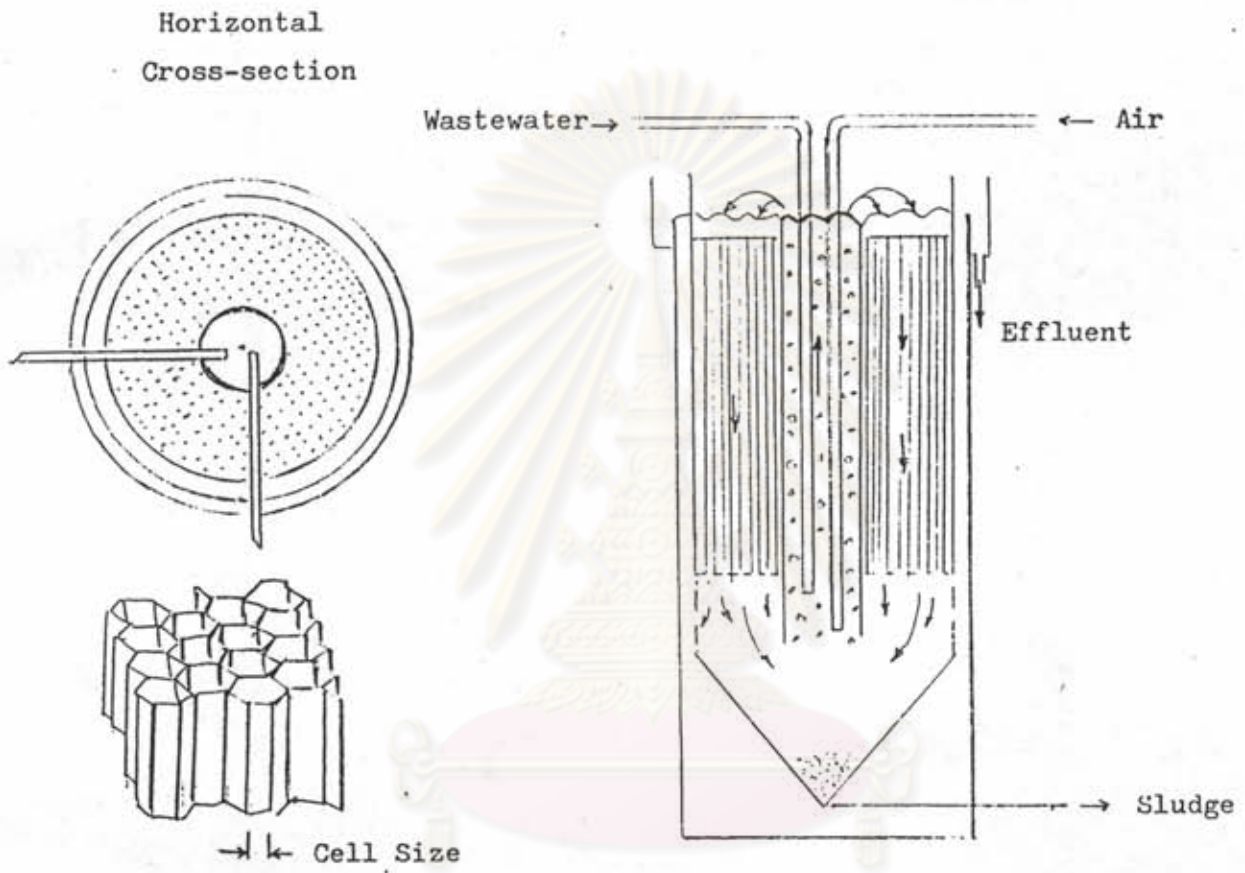
ระบบ เอฟเอพี	ระบบแอกทิเวทเค็ดสแลจจ์
7. สามารถออกแอมป์ใหม่มีประสิทธิภาพการบำบัดที่ระคัมโคกโก้	7. ออกแอมป์ให้ควบคุมระคัมประสิทธิภาพการบำบัดที่โยยาก

2.3 ระบบทัวกลางชีวสัมผัส บีซีเอ็ม (Biological Contact Media System, BCM)

เป็นระบบ เอฟเอพี อีกชนิดหนึ่งที่น่าเอาหลักการของระบบแอกทิเวทเค็ดสแลจจ์มาผสมผสานเข้าด้วยกัน กล่าวคือ ใช้จุลชีพที่ทองการใช้ออกซิเจนเป็นตัวจักรสำคัญในการย่อยสลายสารอินทรีย์เช่นกัน แต่แตกต่างกันตรงที่ในระบบ บีซีเอ็ม นี้ใช้จุลชีพชนิดยึกเกาะอยู่กับทัวกลางทั้งนี้โดยอาศัยหลักการ และปรากฏการณ์ทางธรรมชาติที่มีเมือกจุลชีพเกาะติดอยู่ตามลำรางต่าง ๆ (ดูรูปที่ 2.3) มาประกอบ ส่วนทัวกลางจะถูกติดตั้งและตรึงแน่นอยู่ในน้ำในถังเติมอากาศ จึงทำให้มีชื่อเรียกอีกอย่างหนึ่งว่า Fixed Film Activated Sludge System, FAS หรือระบบแอกทิเวทเค็ดสแลจจ์ แบบฟิล์มตรึง (9) ทัวกลางนี้มักจะเป็นพลาสติกในรูปแบบต่าง ๆ กันเช่น แบบรวงผึ้ง (honey comb) ตะขวยไนลอน ลูกบอลพลาสติกบรรจุในตาข่าย หรือแม่กระทั่งวัสดุทั้งแล้ว เช่น ขวดพลาสติกขนาดเล็ก การเติมอากาศจะก่อให้เกิดการหมุนเวียนของน้ำเสียนานทัวกลางครั้งแล้วครั้งเล่า (ดูรูปที่ 2.4) ทำให้จุลชีพมีโอกาสย่อยสลายสารอินทรีย์มากขึ้นยังผลให้เกิดประสิทธิภาพการบำบัดที่ขึ้น วิธีนี้เหมาะสำหรับน้ำเสียที่มีโอดีค่า ๆ (10) และทองการนำทิ้งคุณภาพค่อนข้างดี เพราะถ้าใช้ระบบแอกทิเวทเค็ดสแลจจ์ธรรมดา มักไม่สามารถผลิตน้ำทิ้งที่มีโอดีค่า ๆ มาก ๆ เช่น น้อยกว่า 20 มก./ลบ.กม. โอดี (6) และมักมีปัญหาการควบคุมปริมาณตะกอนจุลชีพในถังเติมอากาศให้ไคตามปริมาณที่ทองการ แต่ในระบบนี้จุลชีพจะเกาะอาศัยอยู่ที่ทัวกลาง และจะเพิ่มหรือลดประชากรจุลชีพตามความเข้มข้น หรือปริมาณของบีโอดีในน้ำเสียโดยปริมาณบีโอดี หรืออาหารนี้จะเป็นตัวกำหนดมวลจุลชีพที่เกาะอยู่บนทัวกลาง



ศูนย์วิทยุทรัพยากร
รูปที่ 2.3 ลักษณะเมื่อกจุลชีพตามลำรางทั่วไป
จุฬาลงกรณ์มหาวิทยาลัย



ศูนย์วิทยทรัพยากร
จุฬาลงกรณ์มหาวิทยาลัย

รูปที่ 2.4 ระบบ บิวเอ็ล หรือเอฟเอเอส

เองโดยธรรมชาติ และเช่นเดียวกับระบบเอฟเอเอ็มทั่วไป ระบบนี้จึงไม่ต้องการการหมุนเวียน
ตะกอนจุลชีพเช่นระบบแอกทิเวตเต็ดสลัดจ์ จึงลดภาระแก่ผู้ดูแลในการควบคุมประสิทธิภาพของ
ระบบฯ ได้มาก และสามารถใช้ระบบนี้เป็นระบบขั้นที่ 3 ได้อีกด้วย

แก่ระบบ มีซีเอ็ม มีข้อเสียที่ถ้าใช้กับน้ำเสียที่มีปริมาณความเข้มข้นของบีโอดีสูงอาจ
ก่อให้เกิดประจุลพิษมากเกินไปจนเกิดการอุดตันระหว่างตัวกลาง และอาจเกิดปัญหาออกซิเจน
ถ่ายเทลงน้ำไม่พอแก่ความต้องการของจุลชีพที่มีมากขึ้นได้ ทั้งนี้เพราะการเกิดออกซิเจนลงน้ำ
ในระบบนี้จะทำได้ในซีกจำกัดซีกหนึ่งเท่านั้น

2.4 ระบบ ซีเอฟเอเอส

ระบบบำบัดน้ำเสียแบบ ซีเอฟเอเอส (Channel Flow Aeration System)
เป็นระบบใหม่ที่ชาวญี่ปุ่นคิดค้นขึ้นในภาคห้องปฏิบัติการไว้แล้ว (2) และได้รับความสนใจ
ในหมู่นักวิชาการญี่ปุ่นมาก

2.4.1 หลักการทำงานของระบบ ซีเอฟเอเอส

ระบบ ซีเอฟเอเอส เป็นระบบอันเป็นผลสืบเนื่องมาจากวิวัฒนาการ เพื่อ
ปรับปรุงการกำจัดสารอินทรีย์ในน้ำเสีย ซึ่งอาศัยหลักเกณฑ์ของระบบ มีซีเอ็ม และระบบ เอฟเอเอ็ม
โดยอาศัยมวลสารจุลชีพเกาะอยู่บนตัวกลางพลาสติก (plastic media) ซึ่งอยู่กับที่ และ
ตัวกลางพลาสติกจะถูกจับให้จมอยู่ในน้ำเสีย เมื่อน้ำเสียเข้ามาในถัง มลสารในรูปของสารอินทรีย์
ในน้ำเสียไหลผ่านเป็นฟิล์มบาง ๆ บนตัวกลาง จะเกิดมวลสารของจุลชีพเกาะอยู่บนตัวกลางชั้น
โดยธรรมชาติ ซึ่งส่วนของสารอินทรีย์ที่ละลายหรืออยู่ในสภาพคอลลอยด์ (colloid) จะถูก
ย่อยสลายโดยจุลชีพชนิดที่ออกซิเจน ซึ่งเกาะอยู่ที่ผิวของตัวกลางพลาสติก เมื่อจุลชีพเจริญ
เติบโตมากขึ้น ความหนาของจุลชีพจะเพิ่มขึ้น อีกทั้งความแข็งแรงของจุลชีพลดลงเนื่องจากมีอายุ
นาน ออกซิเจนจากรบรยากาศไม่สามารถแทรกซึมถึงชั้นในของเมือก ทำให้จุลชีพภายในไม่สามารถ
รับออกซิเจนได้ เมื่อกจุลชีพจึงหลุดออกจากตัวกลางพลาสติก เนื่องจากน้ำหนักของตัวเอง
และการไหลของน้ำทำให้จุลชีพไปตกในถังตะกอน ตะกอนจุลชีพนี้ก็จะทับถมกันเป็นจำนวนมาก

และออกซิเจนไม่สามารถแทรกซึมผ่านไปได้ ทำให้เกิดสภาพไร้ออกซิเจนในท่อนล่างของถัง ฉะนั้น จะกึ่งนำตะกอนจุลินทรีย์ที่ก้นถังออกเพื่อนำไปกำจัดต่อไป ถ้าเราไม่นำออกจะทำให้ตะกอนเหล่านี้ ถูกแก๊สอันเนื่องมาจากการย่อยสลายในสภาพไร้ออกซิเจนคั้นให้ลอยขึ้นมาบนผิวน้ำ ทำให้ไม่จมตัว

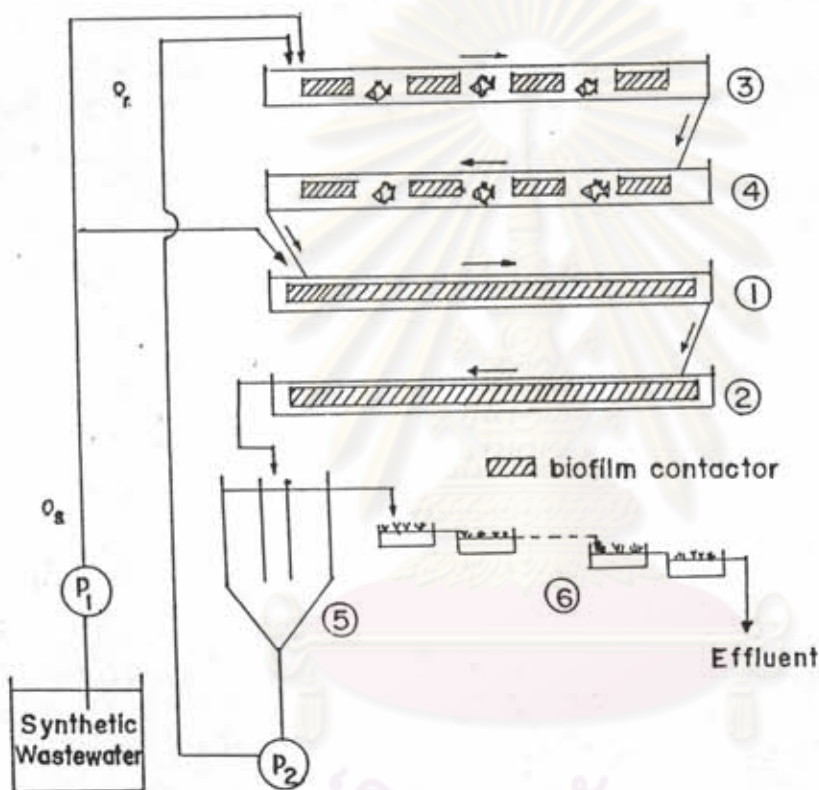
ผลงานการวิจัยและการใช้งานของระบบ ซีเอฟเอเอส โดย Susumu Hashimoto

(2) ใ้สร้างเครื่องต้นแบบครึ่งแสดงในรูปที่ 2.5 โดยเครื่องต้นแบบนี้จะประกอบไปด้วยรางน้ำ เปิด 4 ถัง (# 1, 2, 3 และ 4) แต่ละถังมีขนาดกว้าง 0.25 ม. สูง 0.25 ม. ยาว 8.0 ม. ปริมาตรประสิทธิผล (Effective Volume) 300 ลิตร อ่าง 8 ใบ (# 6) แต่ละใบกว้าง 0.55 ม. ยาว 0.715 ม. สูง 0.256 ม. ปริมาตรประสิทธิผล 60 ลิตร และถังตกตะกอน 1 ถัง (# 5) ปริมาตรประสิทธิผล 130 ลิตร รางน้ำเปิดทั้ง 4 ถัง จะมีท่อกกลางบรรจุอยู่ โดยรางน้ำเปิด # 1 และ 2 บรรจุท่อกกลางฟิล์มชีวะ 7 ชั้น และรางน้ำเปิด # 3 และ 4 บรรจุท่อกกลางฟิล์มชีวะ 4 ชั้น ส่วนอ่างทั้ง 8 ใบใช้สำหรับปลูกผักกูดไทยเพื่อการเจริญเติบโต น้ำเสียสังเคราะห์ที่มีบีโอดี 30 - 120 มก./ลบ.กม. อัตราการไหลของน้ำที่เข้าสู่ระบบ 25 ลิตร/ชั่วโมง โดยใช้เครื่องสูบน้ำ P_1 ความเร็วของน้ำในระบบ 1.35 เซนติเมตร/วินาที และมีอัตราการไหลย้อนกลับ 800 ลิตร/ชั่วโมง โดยใช้เครื่องสูบน้ำ P_2 ส่วนประกอบน้ำเสียสังเคราะห์ที่ใช้ในการวิเคราะห์แสดงไว้ในตารางที่ 2.2 และผลของการบำบัดน้ำเสียแสดงไว้ในตารางที่ 2.3 และ 2.4

ก) วิธีการทดลอง

การทดลองที่ทางผู้เขียนเคยทำไว้จะแสดงในรูปที่ 2.6 และ 2.7 โดยรางน้ำเปิด # 1 และ 2 บรรจุท่อกกลางฟิล์มชีวะ 7 ชั้น (แต่ละชั้นกว้าง 0.24 ม. ยาว 1.0 ม. พื้นที่หน้าตัด $86 \text{ ม.}^2/\text{ม.}^3$) รางน้ำเปิด # 3 และ 4 บรรจุท่อกกลางฟิล์มชีวะ 4 ชั้น (แต่ละชั้นกว้าง 0.24 ม. ยาว 1.0 ม. พื้นที่หน้าตัด $120 \text{ ม.}^2/\text{ม.}^3$) ซึ่งการทดลองแบ่งออกเป็น 3 ระบบ ตามที่แสดงไว้ในตารางที่ 2.5

ระบบที่ 1 น้ำเสียจะถูกเครื่องสูบน้ำ P_1 และ P_2 สูบเข้าสู่รางน้ำเปิดที่ 1 และไหลต่อไปยังรางน้ำเปิดที่ 2 แล้วไหลไปยังถังตกตะกอนที่ 5 จากนั้นเครื่องสูบน้ำ P_3 จะสูบน้ำ



- # 1, 2, 3, 4 - รางน้ำเปิด
- # 5 - ถังตกตะกอน
- # 6 - อ่างปลูกลูกบึ้ง

FIG. 2.5 SCHEMATIC DIAGRAM OF PILOT SCALE CHANNEL FLOW SYSTEM

ศูนย์วิทยทรัพยากร
จุฬาลงกรณ์มหาวิทยาลัย

TABLE 2-2 COMPOSITION OF SYNTHETIC WASTEWATER

Component	Concentration (mg/l)
Peptone	240.0
Meat Extract	160.0
NH_2CONH_2	15.0
$\text{Na}_2\text{HPO}_4 \cdot 12\text{H}_2\text{O}$	100.83
NaCl	12.0
KCl	5.60
$\text{CaCl}_2 \cdot 2\text{H}_2\text{O}$	7.43
$\text{MgSO}_4 \cdot 7\text{H}_2\text{O}$	8.20

BOD : 200 ppm, TOC : 150 ppm

T-N : 60 ppm, T-P : 12.5 ppm

adequately diluted prior to use

ศูนย์วิทยทรัพยากร
จุฬาลงกรณ์มหาวิทยาลัย

TABLE 2-3 TREATMENT OF SYNTHETIC WASTEWATER BY CHANNAL FLOW SYSTEM

sample	Items	run no.	run-1	run-2	run-3	run-4
		wastewater used	diluted synthetic nightsoil (BOD = 30 mg/l)	diluted synthetic wastewater (BOD = 60 mg/l)	diluted synthetic wastewater (BOD = 120 mg/l)	diluted synthetic wastewater (BOD = 90 mg/l)
influent wastewater	TOC (mg/l)		23.4	44.0	93.8	65.4
	total-N (mg/l)		24.7	16.4	36.0	22.6
	total-P (mg/l)		6.13	5.25	7.50	5.63
	TOC-volume load (kg/m ³ .day)		0.0117	0.0117	0.0469	0.0327
	TOC-surface area of biofilm contractor load (g/m ² .day)		0.16	0.31	0.66	0.46
effluent from raising basin	TOC (mg/l)		1.68	3.22	7.30	2.6
	Total-N (mg/l)		20.5	14.1	21.7	18.6
	Total-P (mg/l)		4.44	4.07	6.20	
	TOC (mg/l)		2.06	3.34	7.43	4.55

Remarks (1) volume load = weight of influent TOC (gTOC/day)/ channal volume (m³) here, channal volume is 1.2 m³

(2) surface load = weight of influent TOC (gTOC/day) surface area of biofilm contractor (m²) here, surface area of biofilm contractor is 85.2 m²

TABLE 2-4 REMOVAL % BY CHANNEL FLOW SYSTEM

Run		Run-1	Run-2	Run-3	Run-4
Item		mean removal %	mean removal %	mean removal %	mean removal %
Total plant ¹⁾	TOC	91.2	93.0	92.9	96.8
	Total-N	21.7	15.6	38.3	20.8
	Total-P	20.9	32.0	30.3	27.5

Remarks 1) removal % = (influent conc-effluent from the cultivation basin of Pak Bung)/influent conc x 100

ศูนย์วิทยทรัพยากร
จุฬาลงกรณ์มหาวิทยาลัย

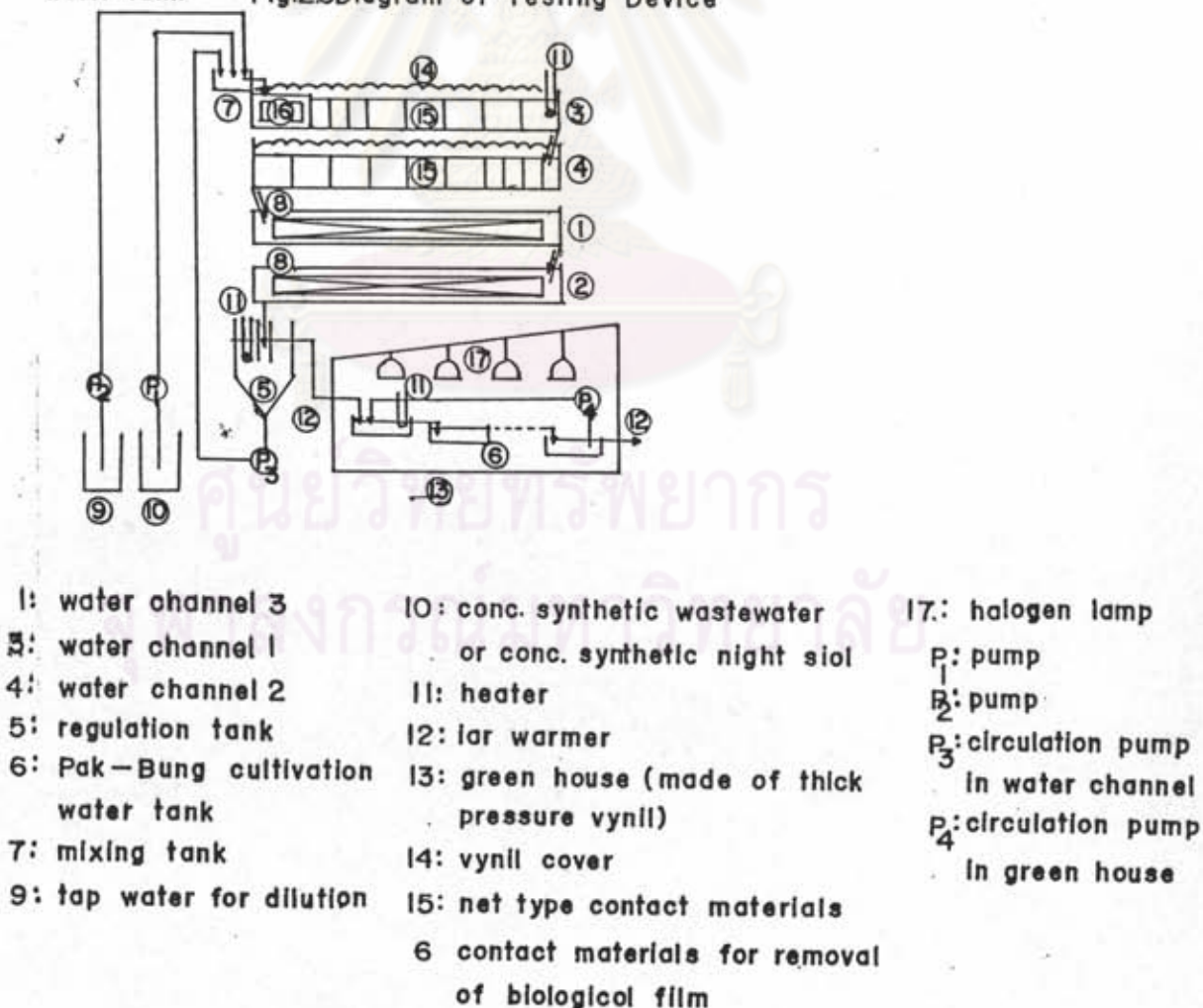
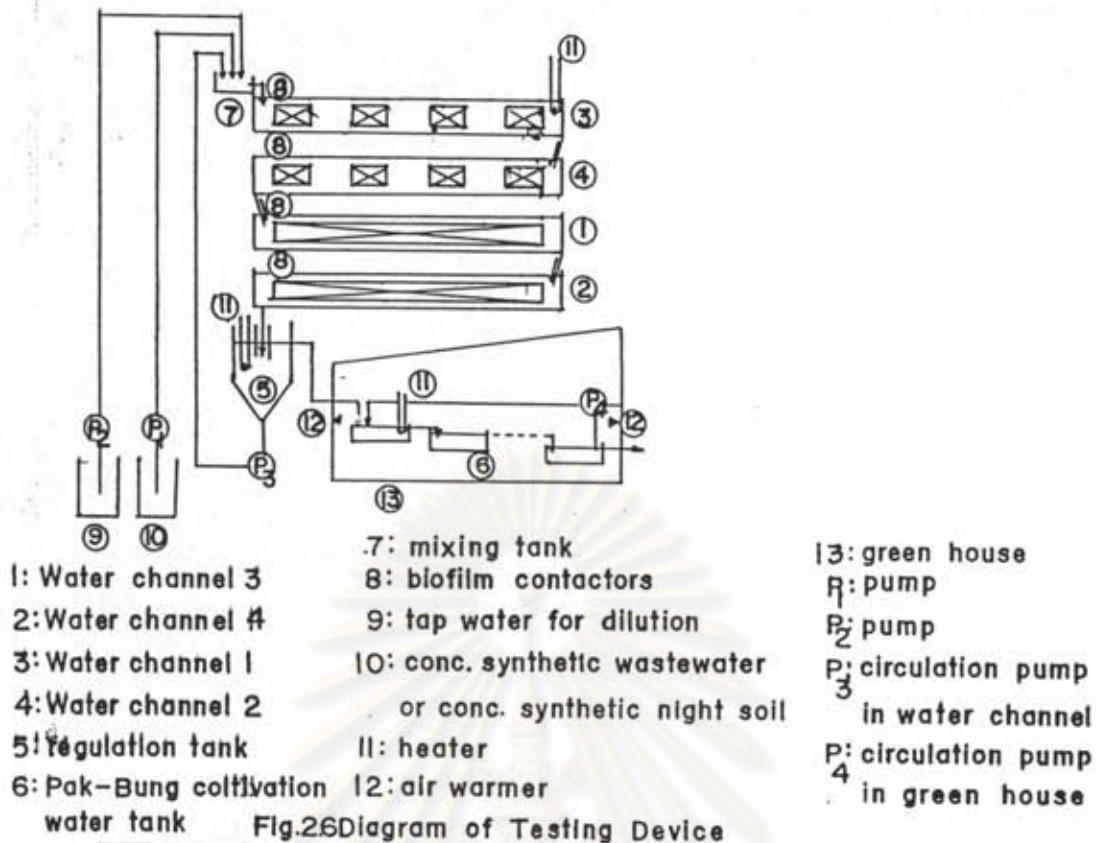


Fig. 2.7 Diagram of Testing Device (B)

TABLE 2.5 CLASSIFICATION OF TESTING DEVICE

Item \ System	System I	System II	System III
Exp. Date	July 21 - Oct. 4, '82	Oct. 4 - Nov. 29, '82	Nov. 29, '82 - Feb. 2 '83
Inflow channel of sewage	water channel 1	water channel 2	water channel 3
Existence of warming heater II.	-	-	-
Existence of warming house 13.	-	-	-
Existence of air - warmer	-	-	-
Existence of Cir - culation pump P ₄	-	-	-
Existence of arti - ficial sunlight 17	-	-	-
Contact materials in water channel	Biofilm contactor (4 pcs / 1 channel)	Biofilm contactor (4 pcs / 1 channel)	net type contact material (25 pcs / 1 channel)
Flow of sewage			

เข้าสู่รางน้ำเปิดที่ 3 และไหลต่อไปยังรางน้ำเปิดที่ 4 จึงไหลเข้าสู่รางน้ำเปิดที่ 1 และ 2 วนเวียนตามลักษณะดังกล่าวจนการบำบัดจะสมบูรณ์

ระบบที่ 2 น้ำเสียจะถูกเครื่องสูบน้ำ P_1 และ P_2 สูบเข้าสู่รางน้ำเปิดที่ 3 และไหลต่อไปยังรางน้ำเปิดที่ 4, 1 และ 2 แล้วไหลไปยังถังตกตะกอนที่ 5 จากนั้นเครื่องสูบน้ำ P_3 จะสูบน้ำใช้ไหลย้อนกลับจากถังตกตะกอนที่ 5 ไปยังรางน้ำเปิดที่ 3, 4, 1 และ 2 ตามลำดับ วนเวียนตามลักษณะดังกล่าวจนการบำบัดจะสมบูรณ์

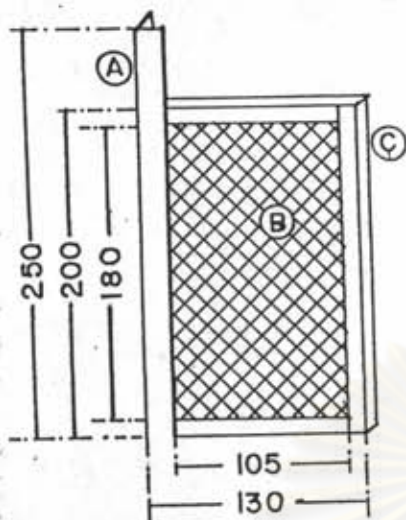
ระบบที่ 3 ลักษณะการทำงานจะคล้ายกับระบบที่ 2 แต่การวางตัวแผ่นฟิล์มชีวะในรางน้ำเปิดที่ 3 และ 4 เพื่อการเกาะจับของมวลจุลชีพจะเป็นลักษณะ กังรูปที่ 2.8 ส่วนตำแหน่งการวางแสงในรูปที่ 2.9 โดยแต่ละรางน้ำเปิดจะประกอบไปด้วยตัวกลางแผ่นฟิล์มชีวะ 25 ชั้น (แต่ละชั้นกว้าง 0.25 ม. ยาว 0.5 ม.) ซึ่งเป็นการเพิ่มพื้นที่ในการเกาะจับของมวลจุลชีพในรางน้ำเปิด

การทดลองทั้ง 3 ระบบใช้ น้ำเสียสังเคราะห์และสิ่งปฏิกูลสังเคราะห์ (Synthetic Night Soil) กังแสงในตารางที่ 2-6 โดยที่มีโอโซนอยู่ในช่วง 900 - 3,600 มก./ลิตร และถูกเจือจางเป็น 30 - 120 มก./ลิตร

เงื่อนไขการทดลองแสงไว้ในตารางที่ 2-7 จุดเก็บตัวอย่างแสงไว้ในตารางที่ 2-8 และการวิเคราะห์ตัวอย่าง วิเคราะห์ตามตารางที่ 2-9

ข) ผลการทดลอง

ผลการทดลองทั้ง 3 ระบบ แสงไว้ในตารางที่ 2-10 โดยที่อัตราการไหลเวียนกลับจะเริ่มจาก 1,800 ลิตร/ชั่วโมง ส่วนเปอร์เซ็นต์ของการกำจัดในระบบจะแสงไว้ในตารางที่ 2-11 และเปอร์เซ็นต์การกำจัดของ ทีไอซี, ไนโตรเจนทั้งหมด, ฟอสฟอรัสทั้งหมด แสงไว้ในรูปที่ 2-10



(unit: mm.)

A: plastic angle (15X15)

B: Saran net

C: plastic angle (10X10)

Fig.2.8 Detailed drawing of net Type Contact Materials

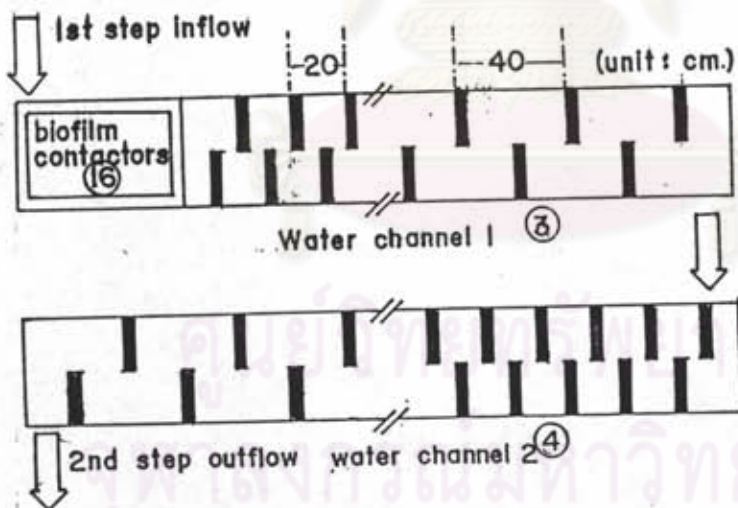


Fig-2.9 Plane Figure for Position of Net Type Contact Material

TABLE 2-6 COMPOSITION OF SYNTHETIC WASTEWATER AND SYNTHETIC NIGHT SOIL

	COMPONENT	CONC. (mg/l)	REMARKS
conc.night soil	peptonē	1080	BOD:3600mg/1
	meat extract	720	
	$(\text{NH}_4)_2\text{sp}_4$	849	
	NH_4HCO_3	2370	TOC:2700
	K_2HPO_4	843	
	$\text{Fe}_2(\text{SO}_4)_3$	0.987	T-N:1080mg/1
	$\text{MgSO}_4 \cdot 7\text{H}_2\text{O}$	9.66	
	$\text{MnSO}_4 \cdot 4\text{H}_2\text{O}$	0.147	T-P:225mg/1
	$\text{CuSO}_4 \cdot 5\text{H}_2\text{O}$	0.33	
	$\text{Mg}(\text{CH}_3\text{COO})_2 \cdot 4\text{H}_2\text{O}$	17.0	
	$\text{K}_2\text{SO}_4 \cdot \text{Al}_2(\text{SO}_4)_3 \cdot 24\text{H}_2\text{O}$	0.495	
	$\text{CoCl}_2 \cdot 6\text{H}_2\text{O}$	8.22	
	$\text{CaCl}_2 \cdot 2\text{H}_2\text{O}$	8.22	
conc.synthetic wastewater	Peptone	4.32	BOD:900 mg/1
	Meat Extract	2.88	
	NH_2CONH_2	0.270	TOC:675 mg/1
	$\text{Na}_2\text{HPO}_4 \cdot 12\text{H}_2\text{O}$	1.82	
	NaCl	0.216	T-N:600 mg/1
	KCl	0.101	
	$\text{CaCl}_2 \cdot 2\text{H}_2\text{O}$	0.134	T-P:150 mg/1
$\text{MgSO}_4 \cdot 7\text{H}_2\text{O}$	0.148		

TABLE 2-7 EXPERIMENTAL CONDITIONS

	System I				System II				System III					
Influent flow rate of sewage (1/day)	20				20				20					
influent flow rate of tap water for dilution (1/day)	580				580				580					
recycle flow rate (1/day)	1800				1800				1800					
speed of flow in water channel (cm/sec)	1.33				1.33				1.33					
retention time in water channel (day)	2				2				2					
retention time in water (day)	0.8				0.8				0.8					
	1	2	3	4	5	6	7	8	9	10	11	12	13	
BOD conc. of conc. sewage (mg/l)	900	1800	3600	2700	900	1350	1800	2250	2250	900	1350	1800	2250	
influent conc. of diluted sewage	BOD	30	60	120	90	30	45	60	75	75	30	45	60	75
	TOC	23.4	44.3	93.8	75.4	24.0	35.7	45.4	59.1	59.1	28.7	34.6	48.6	59.1
average Temp. in water channel (°C)	25.6	23.3	28.4	22.4	23.0	25.3	26.3	25.0	25.0	26.5	26.9	27.5	28.6	

TABLE 2-8 SAMPLING POINT

	No	Sampling Point
experiments 1 - 4	A	near inflow entrance of water channel 1
	B	Regulation tank 5
	C	near outflow exit of water channel 3
	D	near outflow exit of water channel 4
experiment 5 - 13	A'	near inflow entrance of water channel 3
	B'	near outflow exit of water channel 3
	C'	near outflow exit of water channel 4
	C'	Regulation tank 5

TABLE 2-9 ANALYSIS ITEMS AND METHODS

Object	Item	method
water quality	TOC	TOC analyzer ^{a)}
	T-N	T-C, T-N analyzer ^{b)}
	T-P	Molybdenum blue method ^{c)}
	NO ₃ -N	Brucine method [*]
	NH ₄ -N	Indophenol method ^{**}
	PH	Glass electrode method
sludge	MLSS	Centrifugation method [*]
	VSS	Ignition loss method [*]
	T-N	Kjeldahl Method [*]
	T-P	Molybdenum method ^{c)}

- a) TOC-10B made by Shimazu Seisakusho
- b) GCT-13NS made by Sumitomo Chemical Industry
- c) measured after having decomposed by conc. H₂SO₄ and HNO₃
- d) centrifugation at 6,000 ppm. for 10 min
- * based upon sewage analytical method
- ** based upon water analytical method

system No.		System I				System II				System III				
Exp. No.		1	2	3	4	5	6	7	8	9	10	11	12	13
Influent BOD (mg/l)		30	60	120	90	30	45	60	75	75	30	45	60	75
Item														
Influent sewage	TOC(mg/l)	23.4	44.3	93.8	65.4	24.0	35.7	45.4	59.1	59.1	28.7	34.6	48.6	59.1
	T-N(mg/l)	24.7	16.5	36.0	22.6	8.22	12.4	18.3	22.2	22.2	10.3	14.1	19.1	22.2
	T-P(mg/l)	6.13	5.37	7.50	5.63	2.38	3.45	5.21	5.43	5.43	2.38	3.54	4.63	5.43
biofilm contact water channel	TOC volume load(kg/m ² .day)	0.0117	0.0222	0.0469	0.0327	0.0120	0.0178	0.0227	0.0296	0.0296	0.0144	0.0173	0.0243	0.0296
	TOC surface area load(g/m ² .day)	0.16	0.31	0.66	0.46	0.17	0.25	0.32	0.42	0.54	0.26	0.32	0.45	0.54
	TOC(mg/l)	2.06	2.18	7.43	2.52	3.06	3.72	3.85	4.71	4.94	2.74	2.54	3.74	4.84
	T-N(mg/l)	19.3	13.2	22.4	19.0	7.49	12.0	14.5	13.3	15.1	8.91	11.2	12.8	15.1
	T-P(mg/l)	4.85	3.19	5.32	4.54	1.84	3.47	4.33	4.23	4.50	1.78	2.22	3.60	4.79

TABLE 2-10 TREATMENT RESULTS OF CHANNEL FLOW SYSTEM

ศูนย์วิทยทรัพยากร
จุฬาลงกรณ์มหาวิทยาลัย



system No.		System I				System II				System III				
Exp. No.		1	2	3	4	5	6	7	8	9	10	11	12	13
Influent BOD (mg/l)		30	60	120	90	30	45	60	75	75	30	45	60	75
Item														
Whole System	TOC (%)	91.2	96.3	92.9	96.8	90.1	93.5	94.9	94.4	94.9	92.5	94.7	94.0	94.1
	Total-N (%)	21.9	21.8	38.3	20.8	14.1	14.5	26.8	34.7	36.0	19.4	23.4	42.9	33.8
	Total-P (%)	20.9	43.6	30.3	27.5	16.4	7.25	25.3	18.4	19.0	26.9	45.5	30.2	12.5

TABLE 2-11 PERCENT REMOVALS OF CHANNEL FLOW SYSTEM

ศูนย์วิทยทรัพยากร
จุฬาลงกรณ์มหาวิทยาลัย

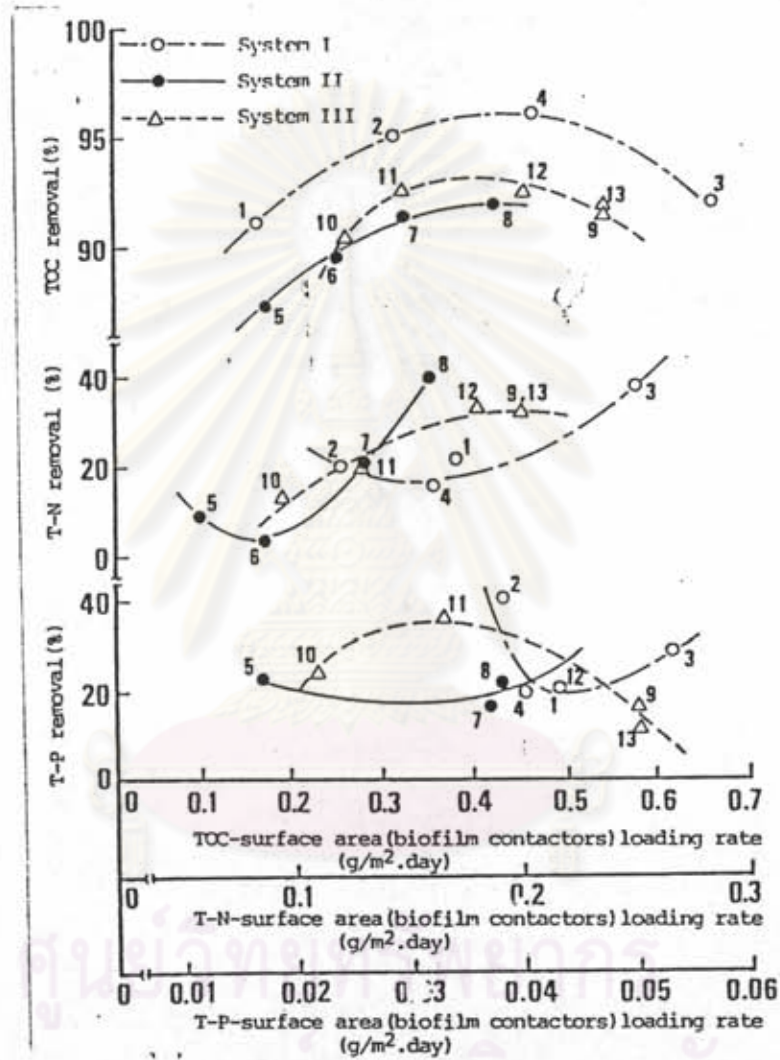


FIG 2-10 PERCENT REMOVALS OF WATER CHANNELS